

名古屋工業大学 正員 荒井利一郎  
建設省土木研究所 // 水谷敏則

1. まえがき 各種構造物に於いて薄肉構造部材(shell)が盛んに使用されている。ここでは、これらshellの中でも最もしばしば用いられる筒状殻のうちで材軸線に曲がりを有する筒状殻(中空断面エルボー; 例: テーメン隅角部など)について、その材端に荷重として曲げモーメント(材軸線を含む面内)が作用している場合の力学的不安定現象を調べることにする。この種の不安定現象については先に筆者らが報告した研究があるが<sup>①</sup>、ここではその中でも材軸線の曲率が比較的大きいものまで考慮の対象とした。解析方法を概述すれば、まずフーリエ級数などで変位関数を仮定し、それを基にしてポテンシャルエネルギーを算出し、ポテンシャルエネルギー最小の原理を使って変位を決定するという手順で進めている。

## 2. 理論の概要

(1) 材軸線に沿って一様な断面の扁平化を考えた場合。

中空断面エルボーに対して図-1のように座標系をとり、変位関数  $u$ ,  $w$  五次式のように仮定する。

$$v = A \sin 2\phi, w = 2A \cos 2\phi \quad (\therefore w = \frac{dv}{d\phi}); A = \text{const.} \quad \dots \dots \dots (1)$$

単位材軸線長当りのヒズミエネルギー  $W$  は、

$$W = \frac{1}{2} \int_0^{2\pi} \left[ E I \epsilon_i^2 + D \{ (x_1 + x_2)^2 - 2(1-\varsigma) x_1 x_2 \} \right] a d\phi \quad \dots \dots \dots (2)$$

$\epsilon_i$  は材軸方向の伸びヒズミ;  $x_1, x_2$  は  $\theta$ ,  $\phi$  方向の曲率の変化量;  $\varsigma$  はボアソン比;  $D = \frac{E t^3}{12(1-\varsigma^2)}$  である。この式に幾何学的関係  $\epsilon_i = c y - (c + \frac{1}{R}) \alpha y$  ...,  $x_1 = c \cos \phi, x_2 = \frac{1}{a^2} \left( \frac{d^3 w}{d\phi^3} + \frac{d^2 v}{d\phi^2} \right), c = \frac{1}{R} - \frac{1}{R}$  (材軸線の曲率の変化量) および式(1)を代入してヒズミエネルギー  $W$  を算出する。単位材軸線長当りのポテンシャルエネルギー  $\Pi$  は  $\Pi = W - M c$  であるから、ポテンシャルエネルギー最小の原理 ( $\frac{\partial \Pi}{\partial c} = 0$ ) を適用すれば、 $M$  と  $c$  の関係が次のようになる。

$$\frac{aM}{EI} = x \left[ \frac{1}{10} + \frac{9}{10} \frac{6}{5(1-\varsigma^2)} \left( \frac{t}{a} \right)^2 \cdot \frac{\{(x + \frac{a}{R}) \frac{a}{R} + \frac{6}{5(1-\varsigma^2)} (\frac{t}{a})^2\}}{\{(x + \frac{a}{R})^2 + \frac{6}{5(1-\varsigma^2)} (\frac{t}{a})^2\}^2} \right] \quad \dots \dots \dots (4)$$

ここに  $x = ac$  である。

これをグラフに図示したものが図-2である。

上記において変位関数として式(1)のように  $\sin 2\phi, \cos 2\phi$  の項だけを考えたが、さらに項数を増して、

$$v = \sum_{k=2}^n A_k \sin k\phi, w = \sum_{k=2}^n k A_k \cos k\phi,$$

のような変位関数を仮定し、同様の計算を行なえば、

$$|A_3| = \frac{1}{12} \frac{a}{R} |A_2|, |A_4| = \frac{5}{34} \frac{|A_2|}{1 + \frac{600}{17(1-\varsigma^2)} \cdot \left( \frac{R t}{a^2} \right)^2},$$

が得られ、 $\sin 2\phi, \cos 2\phi$  の変位関数に対して  $\sin k\phi, \cos k\phi$

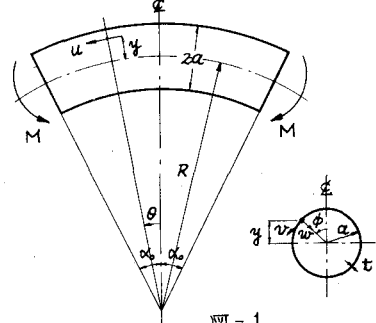


図-1

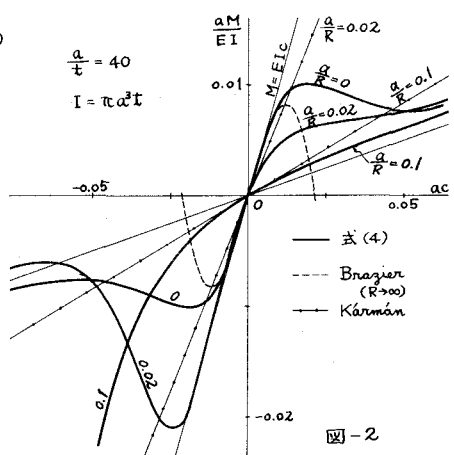


図-2

( $k \geq 3$ ) の変位関数の影響は無視しても差支えないものと考えられる。

図-2に記入されている Kármán や Biazier の結果は式(3)の補正項を微小であるとして無視しているために変形が進むと(有限変形を考えている)誤差が大きくなり、したがって圧伏、飛移りの現象が見られないことがわかる。

(2) エルボーの中央付近で著しい断面の扁平化を考えた場合。

前項では一様な扁平を考えてきたが実際の現象を見るとエルボーの中央付近で著しく扁平化が進行することがわかる。そこで変位関数の材軸線方向の変動をつかむために, Goldeneiseer<sup>③</sup>が微小変形理論の下で展開した諸式を用いて調べることにする。図-1に示す中空円断面エルボーに適用した諸式を列挙すれば、ヒズミと変位成分との関係は、

$$\begin{aligned} \varepsilon_1 &= \frac{1}{A}(u - \sin\phi v - \cos\phi w); \quad \varepsilon_2 = \frac{1}{a}(v^* - w); \\ \omega &= \frac{1}{a}u' + \frac{1}{A}v' + \frac{\sin\phi}{A}u; \quad x_1 = \frac{1}{A}\left(\frac{1}{A}(w^* + \cos\phi u') - \frac{\sin\phi}{a}(w + v)\right); \\ x_2 &= \frac{1}{a^2}(w^* + v^*); \quad \tau = \frac{1}{A}\left(\frac{1}{a}(w^* + v^*) - \frac{\sin\phi}{A}(w + u \cos\phi) + \frac{\cos\phi}{a}u\right). \end{aligned} \quad (5)$$

ここで  $A = R + a \cos\phi$ ;  $f' = \frac{\partial f}{\partial \theta}$ ,  $f = \frac{\partial f}{\partial \phi}$  である。

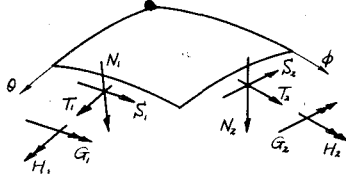


図-3

$$\begin{aligned} \text{断面力とヒズミの関係は}, \quad T_1 &= \frac{2Ek}{1-\sigma^2}(\varepsilon_1 + \sigma\varepsilon_2); \quad T_2 = \frac{2Ek}{1-\sigma^2}(\varepsilon_2 + \sigma\varepsilon_1); \\ S_1 &= \frac{Ek}{1+\sigma} \omega = -S_2; \quad G_1 = \frac{-2Ek^3}{3(1-\sigma^2)}(x_1 + \sigma x_2); \quad G_2 = \frac{-2Ek^3}{3(1-\sigma^2)}(x_2 + \sigma x_1); \quad H_1 = \frac{2Ek^3}{3(1+\sigma)} = -H_2; \quad h = \frac{k}{2}, \end{aligned} \quad (6)$$

微小要素の釣合条件式は、

$$\begin{aligned} T'_1 - \sin\phi(S'_1 - S'_2) - \frac{A}{a}S'_2 - \cos\phi N_1 &= 0; \quad S'_1 + \sin\phi(T'_1 - T'_2) + \frac{A}{a}T'_2 - \frac{A}{a}N_2 = 0; \\ \cos\phi T'_1 + \frac{A}{a}T'_2 + N'_1 + \frac{A}{a}N'_2 - \sin\phi N_2 &= 0; \quad H'_1 - \sin\phi(G_1 - G_2) - \frac{A}{a}G'_2 + AN_2 = 0; \\ G'_1 + \sin\phi(H_1 - H_2) + \frac{A}{a}H'_2 - AN_1 &= 0; \quad S'_1 + S'_2 + \frac{H_1}{R_1} + \frac{H_2}{a} = 0; \end{aligned} \quad (7)$$

式(7)において最後の式は恒等式となり、また外面せん断力  $N_1$ ,  $N_2$  は静定的(単式)な量であるから結局3個だけが有効な式となる。これに式(5), (6)を代入すれば変位を表わした釣合条件式が得られる。

$$\begin{aligned} f^2 u'' + \frac{(1-\sigma)}{2} f^4 u''' + \frac{(1+\sigma)}{2} f^3 v''' - [\cos\phi + \sigma f] f^2 w' - \frac{(3-\sigma)}{2} f^2 \sin\phi v' - \frac{(1-\sigma)}{2} f^3 \sin\phi w' + \frac{(1-\sigma)}{2} f^2 [f \cos\phi - \sin^2\phi] u \\ + \frac{k^2}{12a^2} \left[ \cos^2\phi u'' + f^2 \cos^2\phi v'' - f \sin\phi \cos\phi v' + \cos\phi w''' + f^2 \cos\phi w'' - f \sin\phi \cos\phi w'' + (1-\sigma) \cos 2\phi \left\{ \frac{1}{2} [f^2 u'' - f^2 v'' - \sin\phi v' - f \sin\phi u' + (f \cos\phi - \sin^2\phi) u] + f w' \right\} \right] = 0; \\ f^4 v''' + \frac{(1-\sigma)}{2} f^2 v'' + \frac{(1+\sigma)}{2} f^3 u''' - [\sigma \cos\phi + f] f^3 w' + \frac{(3-\sigma)}{2} f^2 \sin\phi u' - f^3 \sin\phi v' - [\sigma f \cos\phi + \sin^2\phi] f^3 v \\ + [f - \cos\phi] f^2 \sin\phi w + \frac{k^2}{12a^2} \left[ f^2 \cos^2\phi u'' - [f^2 - 2\cos\phi f] \sin\phi u' + f^4 v'' - f^3 \sin\phi v' - [\sigma f^3 \cos\phi + f^3 \sin^2\phi] v \right. \\ \left. + f^2 w'' + 2f \sin\phi w'' + f^4 w''' - f^3 \sin\phi w'' - [\sigma f^3 \cos\phi + f^3 \sin^2\phi] w' - \frac{(1-\sigma)}{2} [f^3 u'' - f^2 v'' - f^2 \sin\phi u'] \right] = 0; \\ [\cos\phi + \sigma f] f^2 u' + [\sigma \cos\phi + f] f^3 v' - [\cos\phi + \sigma f] f^2 \sin\phi v' - [\cos^2\phi + 2\sigma f \cos\phi + f^2] f^2 w \\ - \frac{k^2}{12a^2} \left\{ \frac{(1-\sigma)}{2} \left[ [f^2 \cos\phi - f^3] u''' + [f^2 - f \cos\phi] v''' + [f - \cos\phi] \sin\phi v'' + [f^3 \sin\phi - f \sin\phi \cos\phi] u'' + [f^2 \cos\phi \right. \right. \\ \left. \left. - f \cos 2\phi - \sin^2\phi \cos\phi] u' \right] + \cos\phi u'' + f^2 v'' - f \sin\phi v' + f^2 \cos\phi u'' + \left[ \frac{3}{2} f \sin 2\phi - 2f^2 \sin\phi \right] u' \\ + [-f^2 \cos\phi + f(2 - 5\sin^2\phi) + 2\sin 2\phi \sin\phi] u' + f^4 v''' - 2f^3 \sin\phi v''' - [f^3 \cos\phi + f^2 \sin^2\phi] v''' + [f^3 \sin\phi - f^2 \sin 2\phi \\ - f \sin^2\phi] v + (1-\sigma) \left\{ f \cos\phi w'' + f \cos^2\phi u' + f^3 \cos\phi w''' - f^3 \sin\phi w' + f^3 \cos\phi v' - f^2 \sin\phi v \right\} + w'''' + f^4 w''''' \\ + 2f^3 w''' + 2f^2 \sin\phi w'' - 2f^3 \sin\phi w''' + 2[f \cos\phi + 2\sin^2\phi] w'' - [2f^3 \cos\phi + f^3 \sin^2\phi] w'' \\ + [f^3 \sin\phi - f^2 \sin 2\phi - f \sin^2\phi] w' \Big] = 0, \end{aligned} \quad (8)$$

ここで  $f = \frac{A}{a} = (R + a \cos\phi)/a$  である。

この変数係数の連立偏微分方程式を完全に解くことはとうてい不可能である。ところが率にも前項

において変位関数としては  $\sin 2\phi$ ,  $\cos 2\phi$  のものが最も支配的であり、他の変形タイプはほとんど影響しないことがわかつてゐるので、中央で著しい扁平化が発生する場合もこれに準ずるものとして変位関数として次のものを考えることにする。

$$\begin{aligned} v &= v(\theta) \sin 2\phi; w = w(\theta) \cos 2\phi; u = u(\theta) \cos 2\phi; \\ v(\theta) &= A e^{\lambda_1 \theta}; w(\theta) = B e^{\lambda_1 \theta}; u(\theta) = C e^{\lambda_1 \theta}; \lambda_1 = R/a; A, B, C = \text{const.} \end{aligned} \quad \left. \right\} \quad (9)$$

式(9)を式(8)に代入して解くと、結局入に度する 8 次方程式が得られる。

$$x^8 - 16x^6 + \left[ \frac{(1-\varsigma)}{R} + (1+\varsigma)(7-\varsigma) + (9-7\varsigma)(1+\varsigma) \frac{S}{R} \right] x^4 - [12(3-\varsigma) + (27+7\varsigma-18\varsigma^2) \frac{S}{R}] x^2 + 4[36 + \frac{S}{R}(5+3\varsigma)] = 0 \quad (10)$$

ここに  $k = t^2/2a^2$ ,  $S = \theta^2/2R^2$  である。

これを解いて入を求め、さらに境界条件 ( $[u]_{\theta=0}=0$ ;  $[w']_{\theta=0}=0$ ;  $[v']_{\theta=0}=0$ ) を考慮することにより変位関数は結局次のようになる。

$$\begin{aligned} v &= C \{ e^{-\alpha_1 \xi} (k_1 \cos \beta_1 \xi + k_2 \sin \beta_1 \xi) + e^{-\alpha_2 \xi} (k_3 \cos \beta_2 \xi + k_4 \sin \beta_2 \xi) \} \sin 2\phi \\ w &= C \{ e^{-\alpha_1 \xi} (l_1 \cos \beta_1 \xi + l_2 \sin \beta_1 \xi) + e^{-\alpha_2 \xi} (l_3 \cos \beta_2 \xi + l_4 \sin \beta_2 \xi) \} \cos 2\phi \\ u &= C \{ e^{-\alpha_1 \xi} (m_1 \cos \beta_1 \xi + m_2 \sin \beta_1 \xi) + e^{-\alpha_2 \xi} (m_3 \cos \beta_2 \xi + m_4 \sin \beta_2 \xi) \} \cos 2\phi \end{aligned} \quad \left. \right\} \quad (11)$$

ここに  $\alpha_{1,2}, \beta_{1,2}$  は式(10)の根から決まる実定数;  $k_i, l_i, m_i$  は境界条件から決まる定数;

$C$  は積分定数;  $\xi = \theta R = R\theta/a$  である。

式(11)または式(9)で  $\phi=0$  として軸線方向に沿った変形状態を図示すると図-4 のようになる。

かくして変位関数が得られたので、式(3)および式(5)を用いてヒズミエネルギー  $W$ 、即ち

$$W = \frac{1}{2} \int_0^{R\theta/a} \left\{ EI \epsilon_x^2 + \frac{EI}{2(1+\varsigma)} \omega^2 + \frac{EI^3}{12(1-\varsigma^2)} (x_1' + x_2')^2 - 2(1-\varsigma^2)(x_1' x_2' - \bar{x}^2) \right\} d\theta^2 d\phi d\xi \quad (12)$$

を計算し、ボテンシャルエネルギー最小の原理 ( $\partial W/\partial c = 0$ ;  $\partial W/\partial \bar{x} = 0$ ) を適用すれば、 $M$  と  $c$  の関係は次のように得られる。

$$\frac{\partial M}{EI} = x \left[ (1-L) + L \cdot K \frac{\frac{a}{R}(x+\frac{a}{R})+K}{I_1^2} \right] \quad (13)$$

$$L = \frac{I_2^2}{2I_1^2} \frac{a}{R\alpha_0}; K = \frac{1}{I_1^2} \left\{ \frac{I_4}{1+\varsigma} + \frac{1}{6(1-\varsigma^2)} (\bar{x})^2 [I_5 + 2(1-\varsigma) I_6] \right\}$$

ここに  $I_{1,4,5,6}$  は式(12)の積分で得られる定数である。

これをグラフに図示したもののが図-5 である。

なお、図-6 でわかるようにエルボーの長さ  $l$  が短いほど一様扁平の結果に近くなって中央での著しい扁平化の影響が現われていない。このことは図-4 からも容易に推察できる。

(3) 円以外の断面を有するエルボーについて。

ここでは断面形状が図-7 に示すような  $(\frac{x}{a})^n + (\frac{y}{b})^n = 1$  ( $n \geq 2$ ) で表わされるエルボーについて、一様な扁平化を考えてその不安定

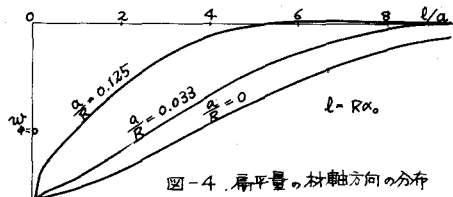


図-4 扁平量の軸方向の分布

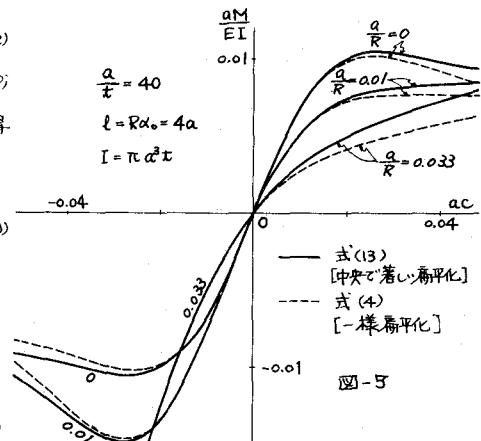


図-5

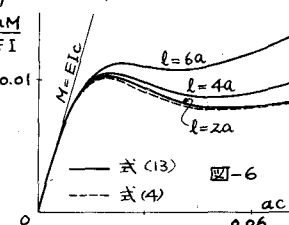


図-6

現象を調べることにする。前項に述べたようにエルボーの長さが余り長い場合には一様扁平と考えても十分適用性があるものと思われる。変位関数として次の形を仮定する。

$$0 \leq \phi \leq \delta$$

$$\left. \begin{aligned} w_1 &= -\frac{\delta}{\frac{\pi}{2}-\delta} A \cos \frac{\pi \phi}{2\delta}; v_1 = -\frac{\beta}{P} \frac{\delta^2}{\frac{\pi}{2}(\frac{\pi}{2}-\delta)} A \sin \frac{\pi \phi}{2\delta}; \\ \delta \leq \phi \leq \frac{\pi}{2} \end{aligned} \right\} \quad (14)$$

$$w_2 = A \sin \left( \frac{\pi}{2} \frac{\phi-\delta}{\frac{\pi}{2}-\delta} \right); v_2 = -\frac{\beta}{P} \frac{\delta^2}{\frac{\pi}{2}(\frac{\pi}{2}-\delta)} A \cos \left( \frac{\pi}{2} \frac{\phi-\delta}{\frac{\pi}{2}-\delta} \right);$$

$$\text{ここに } \beta = \frac{1}{a} \frac{ds}{d\phi} = a^{n+1} \sec^2 \phi \sqrt{1+r^{2n} \tan^{2n-2} \phi}; \rho = \beta^3 \cos^n \phi / (n-1) r^{n-2} \tan^{n-2} \phi \cdot a;$$

$$r = a/\delta; \quad 1/\alpha = \sqrt{1+r^n \tan^n \phi} \text{ である。}$$

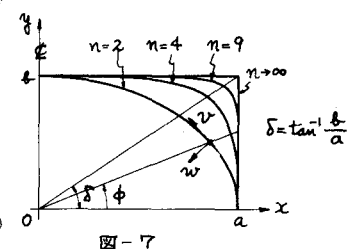


図-7

式(14)を用いて前又項と同様にヒズミエネルギーを算出し、ポテンシャルエネルギー最小の原理を適用すると、結局  $M$  と  $C$  の關係は次のように得られる。

$$\frac{aM}{EI} = x \left[ \left( 1 - \frac{I_2}{I_1 I_3} \right) + \frac{I_2^2}{I_1 I_3} \frac{1}{12(1-\alpha^2)} \left( \frac{x}{a} \right)^2 \frac{I_4}{I_3} \left\{ \left( x + \frac{a}{R} \right) \frac{a}{R} + \frac{1}{12(1-\alpha^2)} \left( \frac{x}{a} \right)^2 \frac{I_4}{I_3} \right\} \right] \quad (15)$$

ここに  $I_1 \sim I_4$  はヒズミエネルギーの積分によつて得られる定数である。

これをグラフに因示したものが図-8, 9, 10である。これらを見ると断面の特性、即ち断面の扁平化に伴う断面次モーメントの減少の度合や扁平化の巻きのし易さの程度などによって不安定現象の現れ方が大いに異なってくることがわかるであろう。

3. まことに 図-2, 5, 8, 9, 10を通じて言えることであるが、一般に  $\frac{a}{R}$  が小さくなる程、また僅かな扁平化によつても断面次モーメントが急激に減少するような断面形状を有するものは飛移り現象は発生しやすい。どうでないものにおいては飛移り現象は見られず、材料破壊に至るまで扁平化が漸次発達し続けることが判断し得る。

- 参考文献 ① 荒井・浜島 “薄肉部材のエルボー部における曲げによる現象” 第22回年次学術講演概要  
 ② A.L. Gol'denweiser “Theory of elastic thin shells” ③ W. Flügge “Statik und Dynamik der Schalen”  
 ④ W. Zerna “Zur Berechnung der Randstörungen kreiszyklindrischen Tonnenbahnen” Ing. Archiv Band 32 '52  
 ⑤ Th. v. Kármán “Über die Formänderung dünnwandiger Rohre, insbesondere fendernder Ausgleichsröhre”  
 ⑥ 深津 “推動管の曲げ応力の近似的解法について” 名古屋工業大学報第19巻 1967

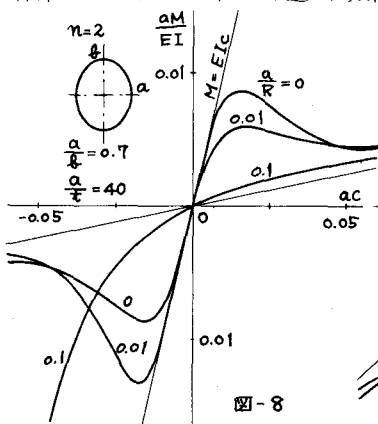


図-8

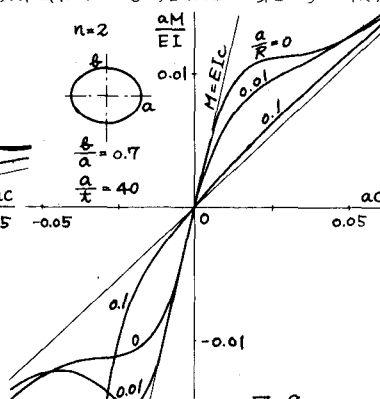


図-9

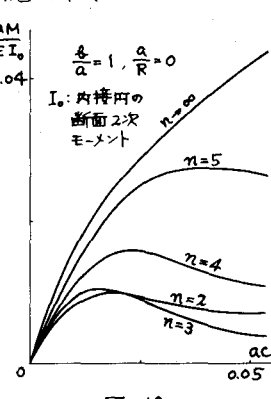


図-10